



任翠涛,陈晨,刘丁嘉,等.某高砷煤电厂 SCR 脱硝催化剂性能检测与评价[J].能源环境保护,2022,36(2):90-95.  
REN Cuitao, CHEN Chen, LIU Dingjia, et al. Performance determination and evaluation of SCR denitration catalyst in a high-arsenic coal-fired power plant [J]. Energy Environmental Protection, 2022, 36(2): 90-95.

移动扫码阅读

# 某高砷煤电厂 SCR 脱硝催化剂性能检测与评价

任翠涛<sup>1</sup>, 陈 晨<sup>2</sup>, 刘丁嘉<sup>2</sup>, 贾海威<sup>2</sup>, 曲艳超<sup>2,\*</sup>

(1.北京华电光大环境股份有限公司,北京 102206;2.浙江科卓环保科技有限公司,浙江 绍兴 312300)

**摘要:**为分析燃煤电厂平板式抗砷中毒 SCR 脱硝催化剂在高砷燃煤烟气中的运行效果,测试了抗砷中毒 SCR 脱硝催化剂和新鲜催化剂的脱硝活性,通过 X 射线原子荧光(XRF)、N<sub>2</sub>吸附/脱附、X 射线衍射(XRD)和 X 射线光电子能谱(XPS)等方式表征催化剂样品。结果表明:运行一年的催化剂在 150~450 ℃烟气条件下的脱硝活性与新鲜催化剂非常接近;运行一年后,催化剂中的砷含量达到 3.06%,主要以 As<sub>2</sub>O<sub>5</sub>的形式存在;催化剂比表面积出现小幅下降,载体 TiO<sub>2</sub>的晶型未发生明显转变;催化剂中 V<sup>4+</sup>和 O<sub>a</sub>含量未出现明显变化,催化剂未出现明显的物理中毒和化学中毒现象,具有较强的抗砷中毒性能。

**关键词:**SCR 催化剂;抗砷中毒;脱硝性能;高砷烟气

中图分类号:X701

文献标识码:A

文章编号:1006-8759(2022)02-0090-06

## Performance determination and evaluation of SCR denitration catalyst in a high-arsenic coal-fired power plant

REN Cuitao<sup>1</sup>, CHEN Chen<sup>2</sup>, LIU Dingjia<sup>2</sup>, JIA Haiwei<sup>2</sup>, QU Yanchao<sup>2,\*</sup>

(1. Beijing National Power Group Co., Ltd., Beijing 102206, China;

2. Zhejiang Kezhuo Environmental Protection Technology Co., Ltd., Shaoxing 312300, China)

**Abstract:** In order to analyze the effect of plate-type anti-arsenic-poisoning SCR denitration catalysts on treating high-arsenic coal-fired flue gas of coal-fired power plant, the denitrification activities of anti-arsenic-poisoning SCR denitration catalyst and fresh catalyst were tested. The catalyst samples were characterized by X-ray fluorescence (XRF), N<sub>2</sub> adsorption/desorption, X-ray diffraction (XRD) and X-ray photoelectron spectroscopy (XPS). The results showed that the denitrification activity of the one-year-used catalyst under 150~450 ℃ was close to that of the fresh catalyst. After one year of operation, the content of arsenic in the catalyst reached 3.06%, mainly in the form of As<sub>2</sub>O<sub>5</sub>. The specific surface area of the catalyst decreased slightly. The crystal form of the support TiO<sub>2</sub> and the content of V<sup>4+</sup> and O<sub>a</sub> did not change significantly. The catalyst had no obvious physical and chemical arsenic poisoning, showing good anti-arsenic poisoning performance.

**Key Words:** SCR catalyst; Anti-arsenic-poisoning; Denitrification performance; High-arsenic flue gas

## 0 引言

在工业烟气脱硝领域中,选择性催化还原(SCR)脱硝技术是现今应用最为广泛的主流技术<sup>[1-2]</sup>,在脱硝效率、反应选择性以及技术成熟性等方面均有着显著优势<sup>[3-4]</sup>,而作为技术核心的脱

硝催化剂<sup>[5-6]</sup>,直接关系到脱硝系统的运行效果和脱硝成本<sup>[7]</sup>。随着国内环保标准的完善,更多行业的烟气中氮氧化物排放浓度被纳入监督范围,更多类型的工业烟气需要进行脱硝处理。与火电厂 300~420 ℃烟气脱硝相比<sup>[8-9]</sup>,钢铁、水泥、垃圾焚烧等行业对脱硝催化剂性能提出了更高的

要求<sup>[10-12]</sup>。

常规 SCR 脱硝催化剂在传统火电烟气中使用寿命一般为 2~3 年<sup>[13]</sup>,当处于某些特殊烟气下,如低温烟气、高碱金属含量烟气、高砷含量烟气等,常规催化剂会快速出现失活现象<sup>[14-15]</sup>,使用寿命大幅缩短,脱硝系统的运行成本也随之大幅升高<sup>[7]</sup>。

燃用高砷煤产生的烟气中  $\text{As}_2\text{O}_3$  含量较高,当烟气流经催化剂时,气态  $\text{As}_2\text{O}_3$  可以通过虹吸作用进入催化剂孔道,与催化剂的活性位点<sup>[16]</sup>和酸位点<sup>[17-19]</sup>发生反应,降低催化剂活性,使催化剂发生化学中毒。此外,  $\text{As}_2\text{O}_3$  和氧化生成的  $\text{As}_2\text{O}_5$  还可以通过覆盖及堵塞催化剂孔道,阻断 SCR 脱硝反应<sup>[18]</sup>,使催化剂发生物理中毒。砷中毒是 SCR 脱硝催化剂失活的主要原因之一<sup>[20-21]</sup>,针对高砷烟气,国内厂商开发并商业化生产抗砷中毒 SCR 脱硝催化剂。本文以使用高砷煤的某燃煤电厂提供的已经运行一年的抗砷中毒 SCR 脱硝催化剂和新鲜抗砷中毒催化剂作为研究对象,对催化剂样品进行脱硝活性测试以及 X 射线原子荧光(XRF)、 $\text{N}_2$ 吸附/脱附、X 射线衍射(XRD)和 X 射线光电子能谱(XPS)表征,深入分析砷元素对催化剂脱硝活性、比表面积、晶型结构、价态分布等方面的影响,为后续开发适用于高砷烟气的抗砷中毒 SCR 脱硝催化剂提供理论支撑。

## 1 实验部分

### 1.1 实验原料

该燃煤电厂装机容量为 300 MW,燃用煤中砷含量为 145  $\mu\text{g/g}$ ,属于煤炭行业标准(MT/T 803—1999)中规定的四级含砷煤( $\geq 25 \mu\text{g/g}$ )。脱硝反应器运行烟温为 310~420  $^{\circ}\text{C}$ ,催化剂按照 3 层设计,安装催化剂为平板式抗砷中毒 SCR 脱硝催化剂,基材为不锈钢网板,催化剂单板尺寸为 456 mm  $\times$  516 mm,板厚为 0.65 mm,节距为 7.51 mm,波高为 7.03 mm,波宽为 21.98 mm。

从 1 号脱硝反应器上层抽取已经运行一年的抗砷中毒 SCR 脱硝催化剂作为测试样品,记为 C-used;以电厂提供的还未投入使用的清新催化剂作为对比样品,记为 C-fresh,样品照片如图 1 所示。将上述两个催化剂样品进行研磨筛分处理,得到 0.2~0.3 mm 的粉末催化剂用于后续的测试和表征。

### 1.2 催化剂脱硝活性测试

测试所用脱硝活性评价系统如图 2 所示,系

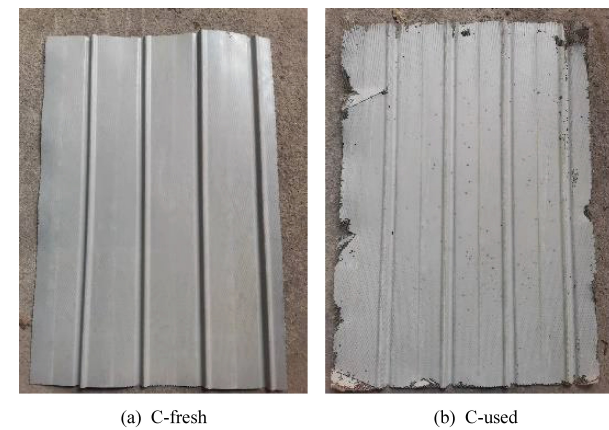


图 1 催化剂样品照片

Fig.1 Photos of different catalysts

统由烟气系统、水系统、SCR 脱硝反应器、烟气分析仪和尾气处理系统组成。测试过程中将准备好的 0.2~0.3 mm 粉末催化剂放入 SCR 脱硝反应器内,按照设计工况设定反应器温度,并通入气体和水,分别通过质量流量计和蠕动泵控制模拟烟气中气体和水蒸气含量,模拟烟气流经催化剂发生反应,反应器进出口  $\text{NO}_x$  浓度通过赛默飞 42i-HL 型氮氧化物分析仪进行测试。模拟烟气组成为: NO 浓度为 500 mg/m<sup>3</sup>,  $\text{NH}_3/\text{NO} = 1$ ,  $\text{SO}_2$  浓度为 500 mg/m<sup>3</sup>,  $\text{O}_2$  体积分数为 4%,  $\text{H}_2\text{O}$  体积分数为 6%, 测试温度区间为 150~450  $^{\circ}\text{C}$ , 空速为 18 000 h<sup>-1</sup> 和 54 000 h<sup>-1</sup>。

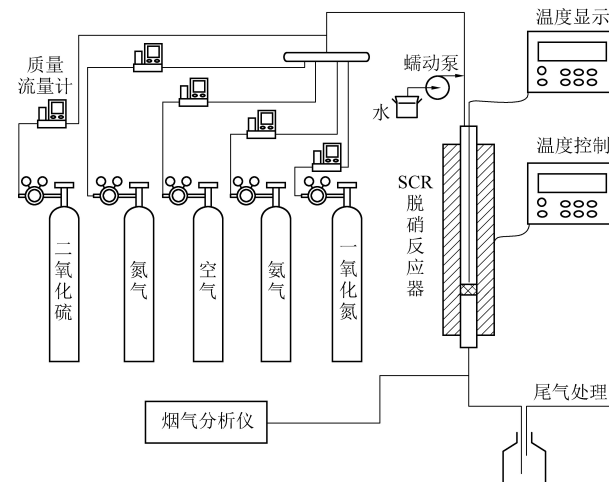


图 2 催化剂脱硝活性评价系统

Fig.2 The evaluation system of denitrification performance of the catalysts

催化剂  $\text{NO}_x$  脱除率计算公式如式(1):

$$\eta = \frac{\text{NO}_{\text{x,in}} - \text{NO}_{\text{x,out}}}{\text{NO}_{\text{x,in}}} \times 100\%$$

式(1)中: $\eta$ ——脱硝效率,%;

$\text{NO}_{\text{x,in}}$ ——脱硝反应器进口  $\text{NO}_x$  浓度,  $\text{mg}/\text{m}^3$ ;

$\text{NO}_{\text{x,out}}$ ——脱硝反应器出口  $\text{NO}_x$  浓度,  $\text{mg}/\text{m}^3$ 。

### 1.3 催化剂表征

#### 1.3.1 XRF 分析

使用日本岛津公司的 XRF-1800 型 X 射线荧光光谱仪对样品进行 XRF 测试, X 射线管靶为铑靶, X 射线管压为 60 kV (Max)/150 mA (Max), 检测浓度范围为  $10^{-6}$ ~100%, 最小分析微区直径为 250  $\mu\text{m}$ , 最大扫描速度为 300 ( $^\circ$ )/min。

#### 1.3.2 N<sub>2</sub>吸附/脱附

使用美国 Micromeritics 公司的 ASAP2020 型物理吸附仪进行 N<sub>2</sub>吸脱附实验, 测试催化剂样品的比表面积。预处理条件为依次在 90  $^\circ\text{C}$  下真空处理 1 h 和 200  $^\circ\text{C}$  下真空处理 6 h, 而后采用静态法在-196  $^\circ\text{C}$  条件下测量样品的吸脱附等温线, 最后由 Brunauer-Emmett-Teller (BET) 方程计算样品的比表面积。

#### 1.3.3 XRD 分析

采用 D/max-III A 型全自动 X 射线衍射仪对催化剂样品进行 XRD 分析, 辐射源为 Cu K $\alpha$ , 波长为 0.154 06 nm, 工作条件为 30 kV/30 mA, 扫描区间为 10°~90°, 扫描速度为 8 ( $^\circ$ )/min。

#### 1.3.4 XPS 分析

使用美国赛默飞世尔科技公司的 Escalab 250Xi 型 X 射线光电子能谱仪对催化剂样品 As、V、O 元素进行 XPS 分析, 得到元素的价态和相对含量, 实验射线源为单色 Al K $\alpha$  ( $h\nu = 1 486.6 \text{ eV}$ ), 结果采用 C 1s 的结合能 ( $E_b = 284.8 \text{ eV}$ ) 进行校准。

## 2 结果与讨论

### 2.1 催化剂脱硝活性测试

新鲜催化剂及运行一年催化剂脱硝活性测试结果如图 3 所示。由图 3 可知, 随着测试温度的升高, 两个催化剂样品的脱硝活性均不断上升, 当温度达到 300  $^\circ\text{C}$  后基本趋于稳定。通过对比图 3(a) 和图 3(b) 可知, 在相同的温度条件下, 空速越高, 催化剂脱硝效率越低; 同时, 在不同空速条件下, C-used 与 C-fresh 的脱硝活性差距也有所不同, 当空速为 18 000  $\text{h}^{-1}$  时, C-used 与 C-fresh 脱硝效率差值不超过 1%; 当空速提升至为 54 000  $\text{h}^{-1}$  时, C-used 与 C-fresh 脱硝效率差值则在 5.20%~7.71% 之间。

脱硝活性测试结果显示该抗砷中毒 SCR 脱

硝催化剂具有良好的抗砷中毒性能, 在高砷烟气中使用一年后催化剂活性仅出现小幅下降。而根据其他人的研究, 在模拟某燃用高砷煤电厂的烟气条件下, 对蜂窝式脱硝催化剂进行脱硝活性测试中试实验, 当运行时间仅达到 1 000 h, 该实验催化剂脱硝活性已经降低至新鲜催化剂的 69%<sup>[22]</sup>。

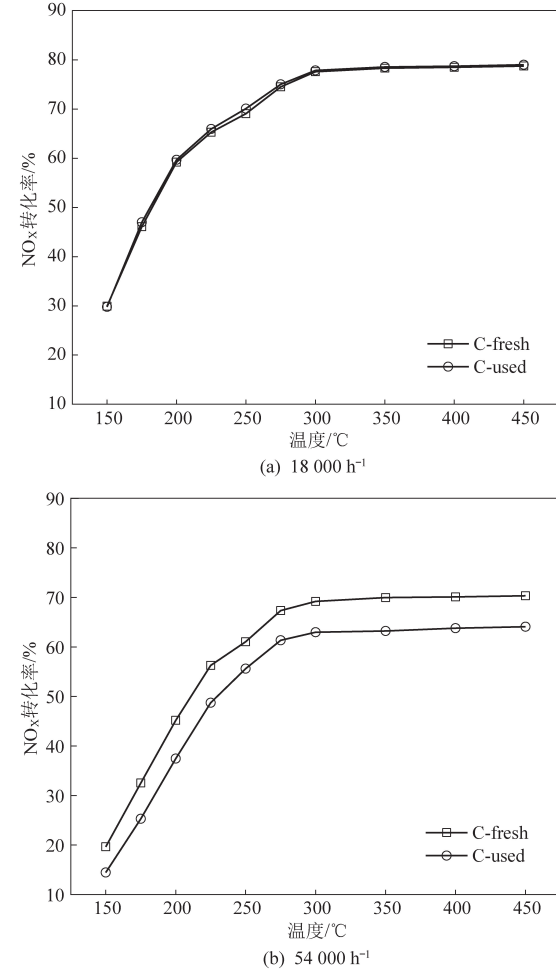


图 3 催化剂脱硝活性测试

Fig.3 Denitrification activity tests for different catalysts

### 2.2 催化剂表征分析

在脱硝活性测试中, 催化剂在高砷烟气中运行一年后的脱硝效率与新鲜催化剂十分接近, 表现出较强的抗砷中毒性能。为进一步了解该催化剂运行一年后的微观变化, 对催化剂样品依次进行 XRF、N<sub>2</sub>吸附/脱附、XRD 和 XPS 表征分析。

#### 2.2.1 XRF 分析

催化剂样品的 XRF 测试结果如表 1 所示。由表 1 可知, 新鲜催化剂 C-fresh 的砷含量低于检出下限, 而在高砷烟气中运行一年后, 砷元素累积明显, C-used 的砷含量超过 3%。在 Li 等人<sup>[23]</sup>模拟脱硝催化剂砷中毒的研究中, 当砷含量达到 3%

时, 催化剂脱硝效率已经不足新鲜催化剂的 40%。而 C-used 在砷含量超过 3% 的情况下, 脱硝效率依旧可以达到 78% 左右, 进一步证明该催化剂具有较强的抗砷中毒性能。

同时, 通过 XRF 测试结果发现, 该催化剂的 Mo 含量较高, 且运行一年后  $\text{MoO}_3$  的含量出现明显下降 ( $9.559\%$  →  $6.402\%$ )。有文献报道, 活性助剂  $\text{MoO}_3$  对于提升催化剂的抗砷中毒性能有着十分显著的效果<sup>[24-25]</sup>,  $\text{MoO}_3$  可与烟气中的  $\text{As}_2\text{O}_3$  优先反应生成  $\text{Mo}_4\text{As}_{10}\text{O}_{35}$  等物质<sup>[20, 24, 26]</sup>, 从而起到保护活性位的作用。由此推断, 该催化剂抗砷性能优秀的原因之一应该是高 Mo 含量。在催化剂使用过程中 Mo 成分不断与砷反应, 造成 Mo 含量的下降。除此之外,  $\text{MoO}_3$  还可与烟气中某些成分反应生成可挥发性络合物, 进一步导致 Mo 含量的降低<sup>[27]</sup>。

表 1 催化剂组分含量

Table 1 Components content of various catalysts %

|                         | C-fresh  | C-used   |
|-------------------------|----------|----------|
| $\text{Na}_2\text{O}$   | 0.028 5  | 0.096 8  |
| $\text{Al}_2\text{O}_3$ | 1.932 8  | 2.383 3  |
| $\text{SiO}_2$          | 3.376 5  | 4.484 6  |
| $\text{SO}_3$           | -        | 0.599 1  |
| $\text{K}_2\text{O}$    | 0.035 0  | 0.111 9  |
| $\text{CaO}$            | 1.188 4  | 1.217 9  |
| $\text{TiO}_2$          | 80.940 1 | 78.395 3 |
| $\text{V}_2\text{O}_5$  | 1.762 9  | 1.707 0  |
| $\text{Fe}_2\text{O}_3$ | 0.488 2  | 0.957 3  |
| $\text{As}_2\text{O}_3$ | -        | 3.061 2  |
| $\text{MoO}_3$          | 9.559 2  | 6.402 2  |

注: 1. 表 1 仅列出催化剂样品中含量超过 0.01% 的成分; 2.

“-”表示未检出

## 2.2.2 $\text{N}_2$ 吸附/脱附测试

在催化剂使用过程中, 烟气中砷等成分会逐渐堵塞催化剂孔道, 造成催化剂比表面积下降<sup>[28]</sup>。对运行一年的催化剂及新鲜催化剂进行  $\text{N}_2$  吸附/脱附测试, 并计算样品比表面积, 计算结果如表 2 所示。由表 2 可知, 催化剂在运行一年后, C-fresh 与 C-used 的比表面积差值约为  $9 \text{ m}^2/\text{g}$ , 未出现明显下降, 该结果符合 C-fresh 和 C-used 脱硝活性相近的现象。

表 2 催化剂比表面积

Table 2 Specific surface area of different catalysts

|   | C-fresh  | C-used   |
|---|----------|----------|
| 比表面积/( $\text{m}^2 \cdot \text{g}^{-1}$ ) | 85.981 8 | 77.088 5 |

## 2.2.3 XRD 分析

图 4 为新鲜催化剂和运行一年催化剂的 XRD 谱图。由图 4 可知, 催化剂运行一年后未发生明显晶型转变, C-used 与 C-fresh 的载体  $\text{TiO}_2$  均呈锐钛矿型。比表面积的下降应主要由烟气中灰分堵塞催化剂孔道所致。

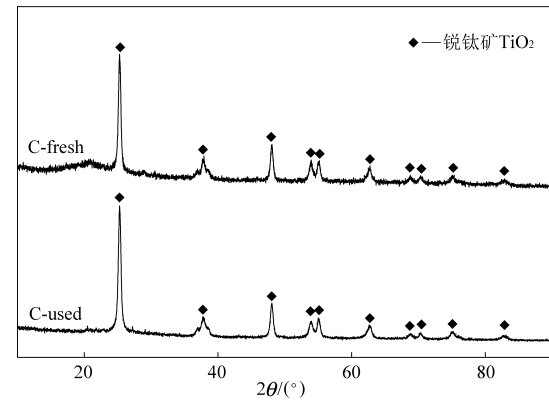


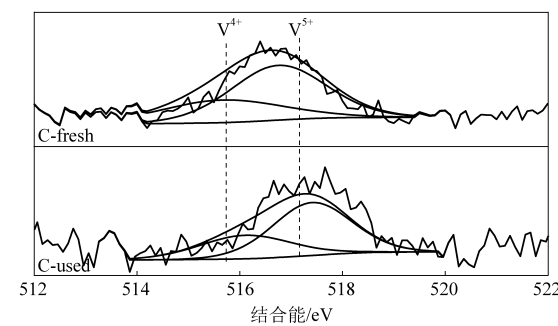
图 4 催化剂 XRD 谱图

Fig.4 XRD patterns of different catalysts

## 2.2.4 XPS 分析

### (1) 钒元素 XPS 分析

图 5 为新鲜催化剂以及运行一年催化剂的  $\text{V} 2\text{p}_{3/2}$  XPS 谱图, 其中结合能在 516.0 eV 左右的峰归属于  $\text{V}^{4+}$ , 517.3 eV 左右的峰则归属于  $\text{V}^{5+}$ 。表 3 为两个催化剂样品中低价钒 ( $\text{V}^{4+}$ ) 在钒元素 ( $\text{V}^{4+} + \text{V}^{5+}$ ) 中的比例。由表 3 可知, C-fresh 与 C-used 中低价钒比例相近, 分别为 34.54% 和 33.76%, 这说明催化剂在高砷烟气中运行一年后, 并未有较多的钒活性位点与砷发生反应<sup>[29]</sup>。这可能是砷优先与催化剂中的  $\text{MoO}_3$  发生反应, 使催化剂的钒活性位得到保留, 而活性位点数量稳定是维持催化剂活性的重要因素。

图 5 催化剂  $\text{V} 2\text{p}_{3/2}$  XPS 谱图Fig.5 XPS spectra of  $\text{V} 2\text{p}_{3/2}$  of different catalysts

### 表 3 钒元素中 $\text{V}^{4+}$ 占比

Table 3 Proportion of  $\text{V}^{4+}$  in the total vanadium

|                      | C-fresh | C-used |
|----------------------|---------|--------|
| $\text{V}^{4+}$ 占比/% | 34.54   | 33.76  |

## (2) 砷元素 XPS 分析

图 6 为新鲜催化剂和运行一年催化剂的 As 3d XPS 谱图, 其中结合能 45.1~46.2 eV 对应的是 As<sup>3+</sup>, 而结合能 44.7~48.2 eV 则对应 As<sup>5+</sup>, 表 4 为催化剂样品砷元素中 As<sup>3+</sup> 和 As<sup>5+</sup> 的占比。由 XPS 测试结果可知, 在催化剂使用过程中, 烟气中的砷成分会不断在催化剂上累积, 在运行一年的样品中, As<sup>3+</sup> 和 As<sup>5+</sup> 在砷的总含量中分别占 10.52% 和 89.48%。这种砷价态分布与杨勇平等<sup>[30]</sup>的研究结果相似, 即在高砷烟气条件下, 上层催化剂中的砷元素主要以 As<sub>2</sub>O<sub>5</sub> 形式存在, 其主要由 As<sub>2</sub>O<sub>3</sub> 氧化生成, 并与 As<sub>2</sub>O<sub>3</sub>一同覆盖催化剂表面和孔道, 降低催化剂比表面积, 影响催化剂的活性。

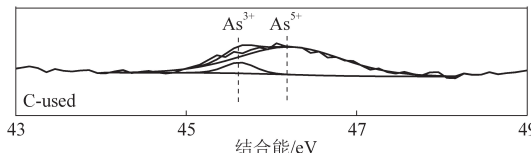


图 6 使用一年催化剂的 As 3d XPS 谱图

Fig.6 XPS spectra of As 3d of one-year-used catalyst

表 4 砷元素中 As<sup>3+</sup> 和 As<sup>5+</sup> 占比Table 4 Proportion of As<sup>3+</sup> and As<sup>5+</sup> in the total arsenic

|                       | C-fresh | C-used |
|-----------------------|---------|--------|
| As <sup>3+</sup> 占比/% | -       | 10.52  |
| As <sup>5+</sup> 占比/% | -       | 89.48  |

注:“-”表示未检出

## (3) 氧元素 XPS 分析

催化剂中的氧物种组成对于 SCR 脱硝反应具有较大的影响。在 SCR 脱硝反应中, 吸附氧(O<sub>α</sub>)具有更高的迁移率, 相较于晶格氧(O<sub>β</sub>)和表面氧(O<sub>γ</sub>)更为活跃, 更有利于 SCR 脱硝反应的进行<sup>[31]</sup>。图 7 为新鲜催化剂和运行一年催化剂的 O 1s XPS 谱图, 表 5 为催化剂样品中 O<sub>α</sub> 占总氧量(O<sub>α</sub>+O<sub>β</sub>+O<sub>γ</sub>)的比例。由表 5 可知, C-fresh 与 C-used 中 O<sub>α</sub> 所占比例接近, 分别为 36.26% 和 36.99%, 说明催化剂经过一年使用后, 吸附氧并未与砷元素发生较多反应, 这也是催化剂能够保持较高活性的原因之一。

表 5 总氧量中 O<sub>α</sub> 占比Table 5 Proportion of O<sub>α</sub> in the total oxygen

|                     | C-fresh | C-used |
|---------------------|---------|--------|
| O <sub>α</sub> 占比/% | 36.26   | 36.99  |

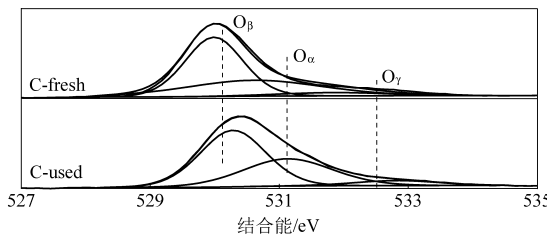


图 7 催化剂 O 1s XPS 谱图

Fig.7 XPS spectra of O 1s of different catalysts

## 3 结 论

对某电厂提供的在高砷燃煤烟气中运行一年的抗砷中毒 SCR 脱硝催化剂和新鲜催化剂进行脱硝活性测试, 同时通过 XRF、N<sub>2</sub> 吸附/脱附、XRD 和 XPS 等检测方法进行表征分析, 得到以下主要结论:

(1) 该抗砷中毒催化剂使用一年后, 在 150~450 °C 的烟气条件下具有与新鲜催化剂相近的脱硝活性, 空速为 54 000 h<sup>-1</sup> 时, 运行一年催化剂与新鲜催化剂脱硝效率差值最大为 7.71%;

(2) 运行一年的催化剂中砷累积含量超过 3%, 且活性助剂 MoO<sub>3</sub> 含量发生明显下降;

(3) 运行一年后, 催化剂的比表面积发生小幅度下降, 未对催化剂活性造成显著影响;

(4) 运行一年后, 催化剂载体 TiO<sub>2</sub> 的晶型未发生明显转变;

(5) 运行一年的催化剂中砷主要以 As<sub>2</sub>O<sub>5</sub> 形式存在, 比例达到 89% 以上, 但催化剂中 V<sup>4+</sup> 和 O<sub>α</sub> 含量并未出现明显变化, 均与新鲜催化剂相近, 无明显化学中毒现象;

(6) 结合活性测试和表征分析结果, 该催化剂应具有较高的砷容量和稳定的活性位, 不易受到烟气中砷成分的毒化, 具有十分优异的抗砷中毒性能。

## 参 考 文 献

- [1] 李俊华. 烟气催化脱硝关键技术研究及应用 [M]. 北京: 科学出版社, 2015: 22.
- [2] 杨延龙. 火电厂氮氧化物减排及 SCR 烟气脱硝技术浅析 [J]. 能源环境保护, 2017, 31 (2): 31~39.
- [3] 李媛, 谭月, 郭小虎, 等. 氨法脱硫+低温 SCR 脱硝工艺在焦炉烟气净化中的应用 [J]. 能源环境保护, 2019, 33 (3): 34~37.
- [4] 顾卫荣, 周明吉, 马薇. 燃煤烟气脱硝技术的研究进展 [J]. 化工进展, 2012, 31 (9): 2084~2092.
- [5] 刘志坦, 姚杰, 庄柯, 等. 燃气轮机与燃煤机组 SCR 脱硝催化剂特性比较 [J]. 中国电力, 2021, 54 (6): 145

-152.

- [6] 熊丽仙, 栗莉. 燃煤电厂 SCR 脱硝催化剂失活分析及再生应用 [J]. 能源环境保护, 2017, 31 (6): 23-26.
- [7] 喻小伟, 周瑜, 刘帅, 等. SCR 脱硝催化剂失活原因分析及再生处理 [J]. 热力发电, 2014, 43 (2): 109-113.
- [8] 贾会珍, 墨文涛, 崔利锋, 等. 失活 SCR 脱硝催化剂的再生处理工艺研究 [J]. 能源环境保护, 2018, 32 (5): 29-33.
- [9] G Busca, L Lietti, G Ramis, et al. Chemical and mechanistic aspects of the selective catalytic reduction of NO<sub>x</sub> by ammonia over oxide catalysts: A review [J]. Applied Catalysis B: Environmental, 1998, 18: 1-36.
- [10] 唐志雄, 岑超平, 陈雄波, 等. 平板玻璃工业窑炉烟气中低温 SCR 脱硝中试研究 [J]. 环境工程学报, 2015, 9 (2): 817-822.
- [11] 蒋进, 夏勇军, 胡笳, 等. 低温 NH<sub>3</sub>-SCR 催化剂及脱硝机理研究进展 [J]. 能源环境保护, 2021, 35 (5): 7-15.
- [12] I Nova, L Dall' Acqua, L Lietti, et al. Study of thermal deactivation of a de-NO<sub>x</sub> commercial catalyst [J]. Applied Catalysis B: Environmental, 2001, 35: 31-42.
- [13] J R Strege, C J Zygarike, B C Folkedahl, et al. SCR deactivation in a full-scale coal-fired utility boiler [J]. Fuel, 2008, 87 (7): 1341-1347.
- [14] L Lisi, G Lasorella, S Malloggi, et al. Single and combined deactivating effect of alkali metals and HCl on commercial SCR catalysts [J]. Applied Catalysis B: Environmental, 2004, 50 (4): 251-258.
- [15] 王宝冬, 汪国高, 刘斌, 等. 选择性催化还原脱硝催化剂的失活、失效预防、再生和回收利用研究进展 [J]. 化工进展, 2013, 32 (z1): 133-139.
- [16] 沈伯雄, 熊丽仙, 刘亭. 负载型 V<sub>2</sub>O<sub>5</sub>-WO<sub>3</sub>/TiO<sub>2</sub> 催化剂的砷中毒研究 [J]. 燃料化学学报, 2011, 311: 856-864.
- [17] Y Peng, J H Li, W Z Si, et al. New insight into deactivation of commercial SCR catalyst by arsenic: An experiment and DFT study [J]. Environmental Science and Technology, 2014, 48 (23): 13895-13900.
- [18] S Pritchard, C DiFrancesco, S Kaneko, et al. Optimizing SCR catalyst design and performance for coal-fired boilers [C]. Proceedings of the EPA/EPRI Symposium on Stationary Combination NO<sub>x</sub> Control, 1995: 16-19.
- [19] I Morita, M Hiramo, G T Biel-Awski. Development and commercial operating experience of SCR DeNO<sub>x</sub> catalysts for wet bottom coal fired boilers [C]. Power-Gen International Conference, 1998.
- [20] 朱春华, 陆强, 庄柯, 等. 燃煤电厂砷中毒 SCR 脱硝催化剂的失活特性研究 [J]. 应用化工, 2018, 47 (6): 1145-1149.
- [21] 赵博, 李浙飞, 周卫可, 等. 含砷 SCR 脱硝催化剂再生处理实验研究 [J]. 能源环境保护, 2019, 33 (2): 25-28.
- [22] 姚燕, 马云龙, 杨晓宁, 等. 高砷煤 SCR 脱硝催化剂中毒失活研究 [J]. 中国电力, 2020, 53 (6): 191-196.
- [23] X LI, J H LI, Y PENG, et al. Regeneration of commercial SCR catalysts: Probing the existing forms of arsenic oxide [J]. Environmental Science & Technology, 2015, 49 (16): 9971-9978.
- [24] Y Peng, W Z Si, X Li, et al. Comparison of MoO<sub>3</sub> and WO<sub>3</sub> on arsenic poisoning V<sub>2</sub>O<sub>5</sub>/TiO<sub>2</sub> catalyst: DRIFT and DFT study [J]. Applied Catalysis B: Environmental, 2016, 181: 692-698.
- [25] 张烨, 徐晓亮, 缪明烽. SCR 脱硝催化剂失活机理研究进展 [J]. 能源环境保护, 2011, 25 (4): 14-18.
- [26] 李峰, 承志, 张朋, 等. 平板式催化剂在电厂高尘、高砷燃煤烟气脱硝中的应用 [J]. 华电技术, 2010, 32 (5): 8-11.
- [27] R Khodayari, C U I Odenbrand. Regeneration of commercial TiO<sub>2</sub>-V<sub>2</sub>O<sub>5</sub>-WO<sub>3</sub> SCR catalysts used in bio fuel plants [J]. Applied Catalysis B: Environmental, 2001, 30 (1-2): 87-99.
- [28] Y K Yu, C He, J S Chen, et al. Regeneration of deactivated commercial SCR catalyst by alkali washing [J]. Catalysis Communications, 2013, 39: 78-81.
- [29] D W Kwon, K H Park, S C Hong. The influence on SCR activity of the atomic structure of V<sub>2</sub>O<sub>5</sub>/TiO<sub>2</sub> catalysts prepared by a mechanochemical method [J]. Applied Catalysis A: General, 2013, 451: 227-235.
- [30] 杨勇平, 陆强, 赵莉, 等. 选择性催化还原烟气脱硝催化剂及其应用 [M]. 北京: 科学出版社, 2021: 182-187.
- [31] L Chen, J H Li, M F Ge. The poisoning effect of alkali metals doping over nano V<sub>2</sub>O<sub>5</sub>-WO<sub>3</sub>/TiO<sub>2</sub> catalysts on selective catalytic reduction of NO<sub>x</sub> by NH<sub>3</sub> [J]. Chemical Engineering Journal, 2011, 170 (2-3): 531-537.